

การศึกษาโครงการสร้างแบบพัลังงาน ของคอบเบอร์อินเดียมไดชีล์ไนร์  
โดยสภาพนำไปฟื้นฟ้าเชิงแสง

นาย พงษ์ ทรงพงษ์



วิทยานิพนธ์นี้เป็นส่วนหนึ่งของการศึกษาตามหลักสูตรปริญญาวิทยาศาสตรมหาบัณฑิต

ภาควิชาฟิสิกส์

บัณฑิตวิทยาลัย จุฬาลงกรณ์มหาวิทยาลัย

พ.ศ. 2531

ISBN 974-569-496-7

ลิขสิทธิ์ของบัณฑิตวิทยาลัย จุฬาลงกรณ์มหาวิทยาลัย

014447

๑๗๐๘๒๐๗๙

Energy Band Structure Study of  
Copper Indium Diselenide  
by Photoconductivity

Mr. Pong Songpongs

A Thesis Submitted in Partial Fulfillment of the Requirements  
for the Degree of Master of Science

Department of Physics

Graduate School

Chulalongkorn University

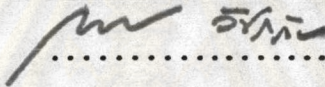
1988

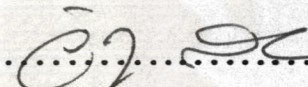
ISBN 974-567-496-7

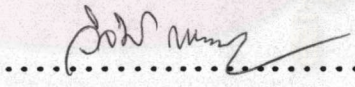
หัวข้อวิทยานิพนธ์ การศึกษาโครงสร้างสถาบันของครอบครัวในเดือนไดซ์ในรัฐ  
 โดยสภาพนำไฟฟ้าเชิงแสง  
 โดย นาย พงษ์ ทรงพงษ์  
 ภาควิชา พลังส์  
 อาจารย์ที่ปรึกษา ผู้ช่วยศาสตราจารย์ สุมพงศ์ อัตราภาร์  
 และอาจารย์ ดร. ชวรยศ อุตุนวทิ

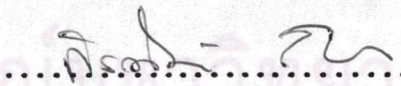
นักศึกษาอั้ย จุฬาลงกรณ์มหาวิทยาลัย อนุเมตติให้มีวิทยานิพนธ์ฉบับนี้เป็นส่วนหนึ่ง  
 ของการศึกษาตามหลักสูตรปริญญาโทบัณฑิต  
 ของมหาวิทยาลัย จุฬาลงกรณ์มหาวิทยาลัย ผู้ช่วยศาสตราจารย์ ดร. ณาร วิชราภิญ

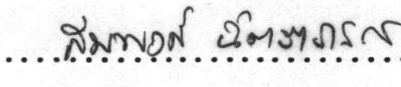
คณะกรรมการสอบวิทยานิพนธ์

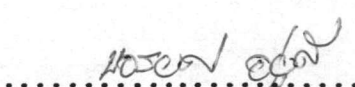
  
 คณบดีบัณฑิตวิทยาลัย  
 (ศาสตราจารย์ ดร. ณาร วิชราภิญ)

  
 ประธานกรรมการ  
 (ศาสตราจารย์ ดร. วิรุฬห์ สายผลิต)

  
 กรรมการ  
 (รองศาสตราจารย์ ดร. วิจิตร เสิงสะพันธุ์)

  
 กรรมการ  
 (ผู้ช่วยศาสตราจารย์ กิริณี รัตนธรรมพันธ์)

  
 กรรมการ  
 (ผู้ช่วยศาสตราจารย์ สุมพงศ์ อัตราภาร์)

  
 กรรมการ  
 (อาจารย์ ดร. ชวรยศ อุตุนวทิ)



พงษ์ ทรงพงษ์ : การศึกษาโครงสร้างแบบพลังงานของคอปเปอร์อินเดียมไดซีเลนไนด์ โดย  
สกานำไฟฟ้าเชิงแสง (ENERGY BAND STRUCTURE STUDY OF COPPER INDIUM  
DISELENIDE BY PHOTOCONDUCTIVITY) อ.ที่ปรึกษา : ผศ. สมพงศ์ อัตราภรณ์ และ  
อ.ดร. ขจรยศ ออยดี

ในการวิจัยนี้ได้ทำการศึกษาสกานำไฟฟ้าเชิงแสงของสารกึ่งตัวนำ  $CuInSe_2$  ชนิดพืชี่ ได้รับ<sup>2</sup> การเตรียมอยู่ต่อฟี-เอ็นไว้แล้ว โดยการแพร่อินเดียมเข้าทางผิว การศึกษาได้วัดความต้านทานของชีวน้ำ เมื่อต้องรอนรอยต่อแบบ เอ็น-ฟี-เอ็น และได้กระทำการวัดที่อุณหภูมิต่าง ๆ ตั้งแต่ 11 ถึง 300 เคลวิน จากการศึกษาพบว่าผลตอบสนองเชิงแสงที่ได้มียอดแหลม 2 ยอดอย่างชัดเจน และมีการเปลี่ยนแปลงตาม อุณหภูมิ โดยยอดแรกมีค่าตั้งแต่ 0.983 eV ที่ 11 เคลวิน ถึง 0.931 eV ที่ 300 เคลวิน และยอดที่สอง มีค่าตั้งแต่ 1.022 eV ที่ 11 เคลวิน ถึง 1.002 eV ที่ 300 เคลวิน ตามลำดับ ทั้งนี้ด้วยอุณหภูมิอย่าง ยอดแรกแสดงผลของช่องว่างแบบพลังงานของสาร เนื่องจากมีการเปลี่ยนแปลงตำแหน่งกับอุณหภูมิอย่าง เหมาะสมสมสอดคล้องกับแบบจำลองของ华兹尼 และแบบจำลองของมาญูเกียน ตำแหน่งและการเปลี่ยนแปลง ต่ออุณหภูมิของยอดที่สอง ได้รับการวิเคราะห์ด้วยแบบจำลองสามแบบ ได้แก่ แบบจำลองของการแยกออก ของแบบ华 เลนซ์ เนื่องจากอัมตรกริยาจากสารนามศักย์ของผลึกซึ่งไม่เป็นลูกบาศก์ ผลจากการอยู่ต่อฟี-เอ็นที่ สร้างขึ้น และผลจากการย้ายสถานะแบบเชียง เนื่องจากลักษณะโครงสร้างแบบพลังงาน จึงควรทำการวิจัย ในด้านอื่น ๆ ต่อไป เพื่อให้สามารถอธิบายสาเหตุที่ทำให้ปรากฏยอด 2 ยอดได้อย่างแจ่มชัด

## ศูนย์วิทยาศาสตร์ จุฬาลงกรณ์มหาวิทยาลัย

ภาควิชา ..... พลังงาน  
สาขาวิชา ..... พลังงาน  
ปีการศึกษา ..... 2531

ลายมือชื่อนิสิต .....  
ลายมือชื่ออาจารย์ที่ปรึกษา .....  
นาย พงษ์ อัตราภรณ์ บัญชากุล  
นาย ขจรยศ ออยดี

PONG SONGPONGS : ENERGY BAND STRUCTURE STUDY OF COPPER INDIUM  
DISELENIDE BY PHOTOCONDUCTIVITY. THESIS ADVISOR : ASST. PROF.  
SOMPHONG CHATRAPHORN, M.Sc., AND Dr. KAJORNYOD YOODEE, Ph.D. 107 PP.

The photoconductivity spectra of single-crystalline p-type CuInSe<sub>2</sub> were measured with n-p-n configuration at various temperatures from 11 to 300 K. The p-n homojunctions were fabricated on one surface by In-diffusion. The experimental results show two pronounced peaks. The first peak position lies at photon energy of 0.931 eV to 0.983 eV at temperatures of 300 down to 11 K respectively while the second one lies at photon energy of 1.002 eV to 1.022 eV. The first peak is mentioned to indicate the energy gap of the sample because the temperature dependence of the peak position can be well fitted with both Varshni's model and Manoogian's model. The relative energy position and temperature dependence of the second peak can be interpreted with three possible models. These include valence band splitting by non-cubic crystalline field, the p-n junction effect, and the indirect optical transition. Further investigation is needed in order that the second peak can be clearly explained.

คุณย์วิทยากร  
จุฬาลงกรณ์มหาวิทยาลัย

ภาควิชา ฟิสิกส์

สาขาวิชา ฟิสิกส์

ปีการศึกษา 25.3.1

ลายมือชื่อนิสิต ..... นพ. 24

ลายมือชื่ออาจารย์ที่ปรึกษา สมพงษ์ บินหะรูฟ  
นายดิษฐ์ ชัยชนะ

## กิตติกรรมประกาศ

วิทยานิพนธ์ฉบับนี้ได้สำเร็จลุล่วงไปได้ ด้วยความกรุณาของผู้ช่วยศาสตราจารย์ สมพงศ์ อัตราภรณ์ และอาจารย์ ดร. ชัยรยศ ออยดี ก็ได้ให้คำแนะนำ ตลอดจนช่วยแก้ ปัญหาและควบคุมการวิจัยอย่างใกล้ชิดตลอดมา อีกทั้งได้รับการสนับสนุนอย่างดีเยี่ยม จากท่าน ศาสตราจารย์ ดร. วิรุพท์ สายคณิต รองศาสตราจารย์ จงอร พีระนก ผู้ช่วย-ศาสตราจารย์ กิริณ์ รัตนธรรมพันธ์ ผู้ช่วยศาสตราจารย์ ดร. วิชิต ศรีตรະกุล อาจารย์ ชัย ผิว่อง และคณะผู้วิจัยพิสิ吉ส์สารก้าวหน้า ภาควิชาพิสิ吉ส์ คณะวิทยาศาสตร์ จุฬาลงกรณ์มหาวิทยาลัย ก็ได้ให้คำปรึกษา และแนะนำเกี่ยวกับวิชาการทางด้านพิสิ吉ส์สาร ก้าวหน้า และอำนวยความสะดวกในการวิจัย

ขอขอบคุณ คุณโอลิฟาร์ บัวผ่อง และ คุณดูญญา แสงผัด เจ้าหน้าที่ประจำห้องปฏิบัติการ หน่วยวิจัยพิสิ吉ส์สารก้าวหน้า ภาควิชาพิสิ吉ส์ ก็ได้ช่วยอำนวยความสะดวกเกี่ยวกับ เครื่องมือต่าง ๆ ก็ใช้ในการวิจัย ตลอดจนนิสิต โปรแกรมปริญญาดุษฎีบัณฑิต คุณแพปญล สุกนันติริ และนิสิต โปรแกรมปริญญามหาบัณฑิต อันได้แก่ คุณนา สร้อยโภกาส คุณกัลยา เอื้อประ-เสริฐศักดิ์ คุณณานา โอสถจันทร์ คุณวิชิต ศิริไชย และคุณงามนันต์ วงศ์เจริญ ซึ่ง ทุกท่านมีส่วนช่วยให้เนื้อหาของวิทยานิพนธ์ฉบับนี้สมบูรณ์ยิ่งขึ้น

ขอขอบคุณ ดร. วีโรจน์ ตันตราภรณ์ และบริษัท เยนเนอรัลอะเลกทริก ก็ได้มอบ อุปกรณ์การทดลองจำนวนหนึ่ง รวมทั้งเครื่องวัดต่าง ๆ ก็ใช้ในการวิจัย

งานวิจัยนี้เป็นส่วนหนึ่งของโครงการวิจัยที่ได้รับการสนับสนุนจาก จุฬาลงกรณ์ มหาวิทยาลัย ภายใต้โครงการพัฒนาหน่วยวิจัย (Unit Cell) จึงขอขอบคุณไว้ ณ ที่นี่

ท้ายสุดขอขอบคุณต่อฝ่ายวิจัย คณะวิทยาศาสตร์ จุฬาลงกรณ์มหาวิทยาลัย ซึ่งได้ พิจารณาให้ทุกผู้ช่วยวิจัยแก่ผู้เขียนในช่วง 2 ปีแรกของการศึกษาระดับปริญญามหาบัณฑิตครั้งนี้

## สารบัญ

หน้า

บทคัดย่อภาษาไทย .....	๔
บทคัดย่อภาษาอังกฤษ .....	๕
กิตติกรรมประกาศ .....	๖
สารบัญ .....	๗
สารบัญตาราง .....	๘
สารบัญภาพและแผนภูมิ .....	๙

บทที่

1      บทนำ .....	1
2      โครงสร้างผลึก และโครงสร้างแอบพลั้งงาน ของสารกึ่งตัวนำ .....	4
โครงสร้างผลึกที่สำคัญของสารกึ่งตัวนำ .....	4
1. โครงสร้างผลึกแบบเพชร .....	5
2. โครงสร้างผลึกแบบเชิงค์เบลนด์ .....	6
3. โครงสร้างผลึกแบบชาลโಡไฟโรท .....	7
ระดับพลั้งงานของอิเล็กตรอนในสนามศักย์ไฟฟ้า .....	9
วงเตอร์ไน略กิสกลับ .....	12
บริลลันช์ และรีดิวช์ชัน .....	13

## สารบัญ (ต่อ)

หน้า

### บทที่

1 (ต่อ)	การศึกษาโครงสร้างແຄบພัลังงานเบื้องต้น .....	17
	โครงสร้างແຄบພัลังงานของสารประกอบ	
	กึ่งตัวนำ I-III-VI <sub>2</sub> .....	19
3	สมบัติการดูดกลืนແසงของสารกึ่งตัวนำ .....	28
	สมบัติการดูดกลืนແສง .....	28
	1. การดูดกลืนແສงเนื่องจากอิเล็กตรอน	
	ข่ายสถานะ ในແຄบພัลังงานเดียวกัน .....	30
	2. การดูดกลืนແສงเนื่องจากอิเล็กตรอน	
	ข่ายสถานะ ไปยังແຄบພัลังงานอื่น .....	31
	การข่ายสถานะแบบตรง .....	31
	การข่ายสถานะแบบเจี้ยง .....	32
	การวัดสัมประสิทธิ์การดูดกลืนແສง .....	33
4	รอยต่อฟี-เอ็นเบื้องต้น .....	35
	อิเล็กตรอนและ ไฮล์ ในสารกึ่งตัวนำ .....	35
	ความหนาแน่นพากะ ในสภาวะสมดุลความร้อน .....	37
	สมบัติการนำเสนอของอิเล็กตรอนและ ไฮล์ .....	41
	รอยต่อฟี-เอ็น .....	43
	ปรากฏการณ์ไฟโตໄวลดາอิก .....	45

## สารบัญ (ต่อ)

หน้า

บทที่

5	สภาพนำไฟฟ้าเชิงแสง .....	47
	กระบวนการนำไฟฟ้าเชิงแสง .....	48
	1. กระบวนการย้ายสถานะของอิเล็กตรอน ที่ทำให้เกิดสภาพนำไฟฟ้าเชิงแสง .....	50
	2. กระบวนการชนส่าง .....	51
	3. กระบวนการแทรบปิง และรีคอมบิเนชัน .....	52
6	การทดลองวัดสภาพนำไฟฟ้าเชิงแสง .....	55
	การเตรียมสารตัวอย่าง .....	55
	อุปกรณ์สำหรับวัดสภาพนำไฟฟ้าเชิงแสง .....	58
	การทดลองวัดสภาพนำไฟฟ้าเชิงแสง และผลการทดลอง .....	62
7	สรุป และวิจารณ์ผลการทดลอง .....	70
	วิเคราะห์ผลการทดลอง .....	70
	ประโยชน์ที่ได้รับจากผลการวิจัย .....	77
	ข้อเสนอแนะ .....	78
	เอกสารอ้างอิง .....	79
	ภาคผนวก .....	84
	ประวัติผู้เขียน .....	107

## สารบัญตาราง

ตารางที่

หน้า

2.1 แสดงความสัมพันธ์ของจุดสมมาตรต่าง ๆ ของโครงสร้างผลึกแบบชิงค์เบลนด์ และแบบ ชาลโคลไฟร์ท เพื่อการพิจารณาโครงสร้าง- แบบพลังงานของชาลโคลไฟร์ท .....	22
6.1 แสดงตำแหน่งของยอดแหลมทึ่งสอง ของผลตอบสนองเชิงแสง ที่อุณหภูมิต่าง ๆ .....	64
ก.1 แสดงอัตราขยายของเครื่องขยายสัญญาณที่เดิน ที่ตำแหน่งสวิทช์ต่าง ๆ ที่ความถี่ของสัญญาณ 20 และ 90 เอิร์ท .....	86

ศูนย์วิทยาการ  
วุฒิกรณ์มหาวิทยาลัย

## สารบัญภาพและแผนภูมิ

ภาพที่

หน้า

2.1	แสดงโครงสร้างผลึกแบบเพชร .....	5
2.2	แสดงโครงสร้างผลึกแบบชิงค์เบลนด์ .....	6
2.3	แสดงโครงสร้างผลึกแบบชาโลโค้ไฟโร๊ก .....	8
2.4	แสดงบ่อศักย์ที่เป็น cavity .....	9
2.5	ก. แสดงกราฟของสมการ 2.4 สำหรับค่า $P = 3\pi/2$ .....	11
	ข. แสดงความสัมพันธ์ระหว่างค่า $k$ และพลังงานของอิเล็กตรอน .....	11
2.6	แสดงลักษณะของแลกทิสต์รังและแลกทิสกลับ ของโครงสร้างแบบเพชร เช่น เทอร์คิวบิก ซึ่งมีแลกทิสกลับเป็นแบบบอดี้ เช่น เทอร์คิวบิก .....	13
2.7	แสดงบริลลันท์ไซมาร์กของโครงสร้างผลึก แบบเพชร เช่น เทอร์คิวบิก .....	15
2.8	แสดงการพับขอบที่เกินบริลลันท์ไซมาร์ก เข้ามาในไซมาร์ก เพื่อนำเสนอแบบรีดิวช์ไซน์ .....	16

สารบัญภาพและแผนภูมิ (ต่อ)

ภาพที่		หน้า
2.9	แสดงผลการประมาณแบบ NFE และ LCAO .....	17
2.10	ก. แสดงโครงสร้างແຕບພลังงานของเยอร์มาเนียม .....	19
	ข. แสดงโครงสร้างແຕບພลังงานของชิลิกอน .....	19
	ค. แสดงโครงสร้างແຕບພลังงานของแกลเลียมอาร์เซไนด์ .....	19
2.11	แสดงบริลลันท์ของโครงสร้างผลึกแบบชาลโคไฟร์ท เทียบกับของโครงสร้างผลึกแบบชิงค์เบลนเดอร์ เมื่อกำหนดค่า $c/a = 2$ .....	21
2.12	แสดงการสร้างโครงสร้างແຕບພลังงานของ $\text{AgInTe}_2$ โดยใช้หลักการพับ .....	23
2.13	แสดงการแยกออกของระดับພลังงานของชาลโคไฟร์ท เทียบกับของชิงค์เบลนเดอร์ .....	24
2.14	แสดงผลของการเกิดสถานะลูกผสมระหว่างสถานะพี และดี ในสารประกอบกลุ่ม I-III-VI <sub>2</sub> .....	26
3.1	แสดงสัมประสิทธิ์การดูดกลืนแสงกับພลังงานแสง ก. สำหรับการย้ายสถานะแบบตรง ข. แบบเฉียง .....	33
3.2	แสดงการทดลองวัดสัมประสิทธิ์การดูดกลืนแสง .....	34

## สารบัญภาพและแผนภูมิ (ต่อ)

ภาพที่		หน้า
4.1	ก. แสดงแผนภาพพื้นฐานของสารกั่งตัวนำบริสุทธิ์ ไม่มีสารเจือ .....	36
	ข. แสดงแผนภาพพื้นฐานของสารกั่งตัวนำชนิดเข็น .....	36
	ค. แสดงแผนภาพพื้นฐานของสารกั่งตัวนำชนิดพี .....	36
4.2	ก. แสดงแผนภาพแบบพลังงานของสารกั่งตัวนำอินทรินสิก .....	40
	ข. แสดงแผนภาพแบบพลังงานของสารกั่งตัวนำชนิดเข็น .....	40
	ค. แสดงแผนภาพแบบพลังงานของสารกั่งตัวนำชนิดพี .....	40
4.3	แสดงค่าสภาพเคลื่อนได้ของพาหะ ในชิลิกอน กับอุณหภูมิ .....	42
4.4	แสดงความสัมพันธ์กระแส-ความต่างศักย์ของรอยต่อพี-เอ็น ที่แสดงสมบัติการการรองกระแส .....	43
4.5	แสดงเงื่อนไขต่าง ๆ บริเวณรอยต่อ ขณะ ไม่มีความต่างศักย์ตกคร่อม .....	44
5.1	แสดงกระบวนการนำไฟฟ้าเชิงแสง .....	49
5.2	แสดงการผ่อนคลายของอิเล็กตรอน .....	51
5.3	แสดงระดับอิเล็กตรอนตีม่าเดชัน และไฮล์ดี้ม่าเดชัน .....	54

สารบัญภาพและแผนภูมิ (ต่อ)

ภาพที่		หน้า
6.1	แสดงรอยต่อฟี-เอ็นที เตรียมได้บนชิ้นส่วน .....	57
6.2	แสดงภาพที่ยืดชิ้นส่วน, ขั้วต่อสาย, และการติดชิ้นส่วนตัวอย่างเพื่อการทดลองวัดสภาพนำไฟฟ้าเชิงแสง .....	58
6.3	แสดงระบบที่ใช้วัดสภาพนำไฟฟ้าเชิงแสง .....	59
6.4	แสดงวงจรที่ใช้วัดสภาพนำไฟฟ้าเชิงแสง .....	61
6.5	แสดงตำแหน่งที่แสดงผลกระทบบนชิ้นส่วนด้านหลัง .....	63
6.6	แสดงสเปกตรัมของผลตอบสนองเชิงแสงของสาร CuInSe <sub>2</sub> ก. ที่ 11 เคลวิน .....	65
	ข. ที่ 100 เคลวิน .....	66
	ค. ที่ 200 เคลวิน .....	67
	ง. ที่ 300 เคลวิน .....	68
6.7	สรุปภาพผลตอบสนองเชิงแสงที่อุณหภูมิต่าง ๆ ตั้งแต่ 11 ถึง 300 เคลวิน .....	69
7.1	แสดงค่าความต้มยำลัยยังผล สำหรับรอยต่อของ CuInSe <sub>2</sub> ที่ 300 เคลวิน .....	71

สารบัญภาพและแผนภูมิ (ต่อ)

ภาพที่		หน้า
7.2	แสดงตำแหน่งของยอดแหลมทั้งสองของผลตอบสนองเชิงแสง สัมพันธ์กับอุณหภูมิ .....	72
7.3	แสดงการเปรียบเทียบตำแหน่งของยอดแรก เทียบกับอุณหภูมิ ก. กับแบบจำลองของวารชัน .....	73
	ช. กับแบบจำลองของมานูเกียน .....	74
7.5	แสดงการย้ายสถานะเชิงแสงของอิเลกตรอน ทั้งแบบตรง และแบบเฉียง .....	76
ก.1	แสดงวงจรเครื่องขยายสัญญาณขั้นต้น .....	87
ช.1	แสดงวงจรเครื่องแปลงสัญญาณนำลอกเป็นดิจิตอล .....	90

ศูนย์วิทยาศาสตร์พยากรณ์  
จุฬาลงกรณ์มหาวิทยาลัย